

F4110
Kvantová fyzika atomárních soustav
letní semestr 2012- 2013

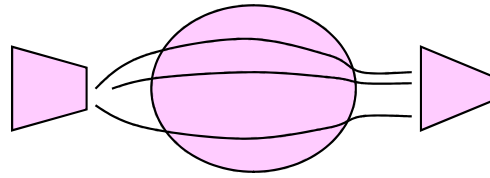
VI.
Neutronová interferometrie
cvičení

KOTLÁŘSKÁ 3. DUBNA 2013

Rekapitulace a dokončení
přednášky VI.

Schrödingerovy vlny – kvasklasická aproximace

Fresnelova aproximace fys. optiky ...
obvyklý způsob interpretace experimentů



klasické trajektorie

$$\psi(\mathbf{r}) = A(\mathbf{r}) \cdot \exp(i/\hbar \cdot S)$$

$$S(\mathbf{r}) = \int ds \cdot \hbar k(\mathbf{r}(s))$$

$$= \hbar k_0 \int ds \cdot n(\mathbf{r}(s))$$

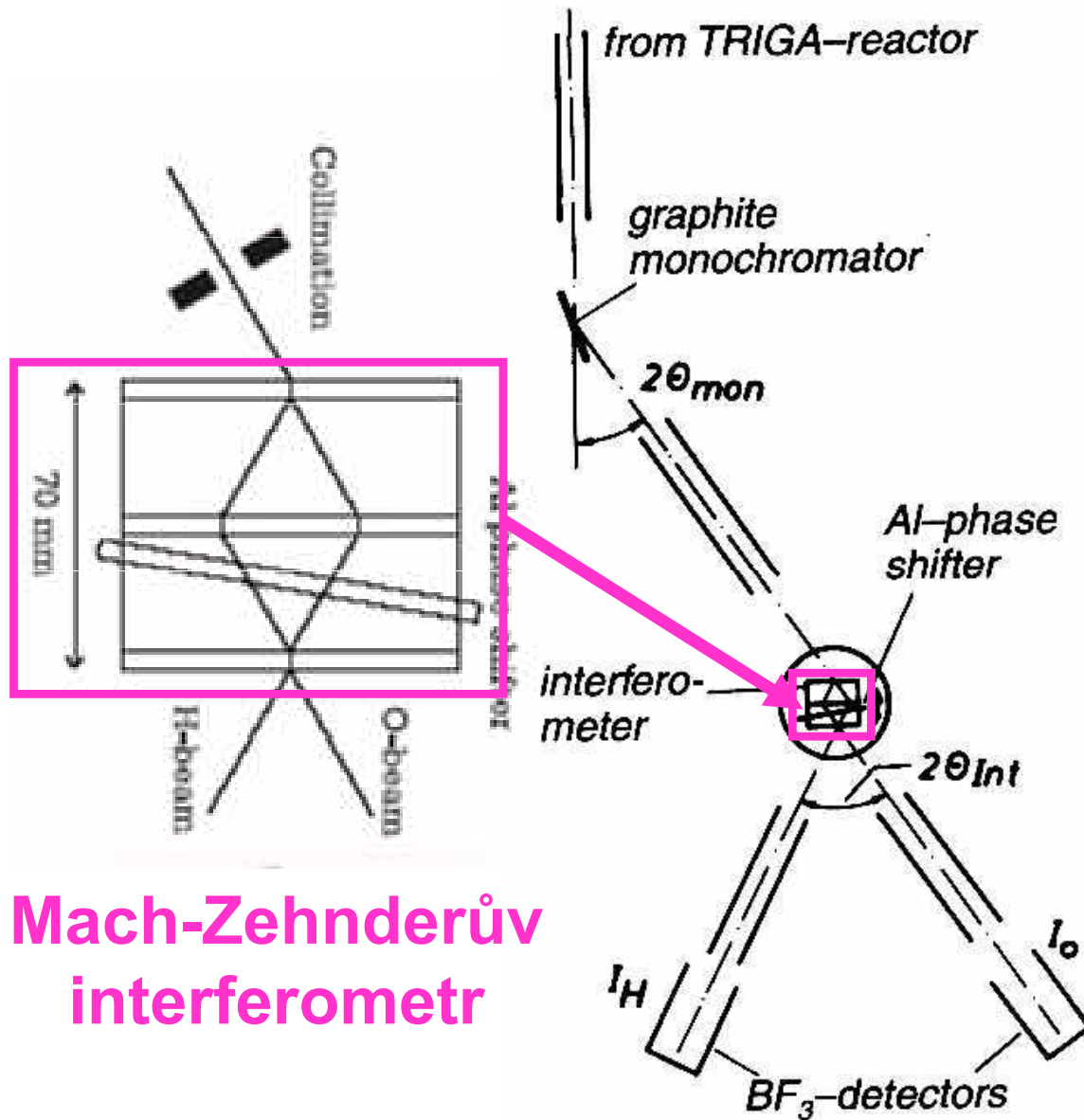
INDEX LOMU

$$k(\mathbf{r}) = \sqrt{\frac{2m}{\hbar^2} (E - V(\mathbf{r}))} = \sqrt{\frac{2m}{\hbar^2} E} \sqrt{1 - \frac{V(\mathbf{r})}{E}}$$

$$k_0 \cdot n(\mathbf{r}(s))$$

Neutronová interferenční aparatura

schema z r. 1974



Mach-Zehnderův
interferometr

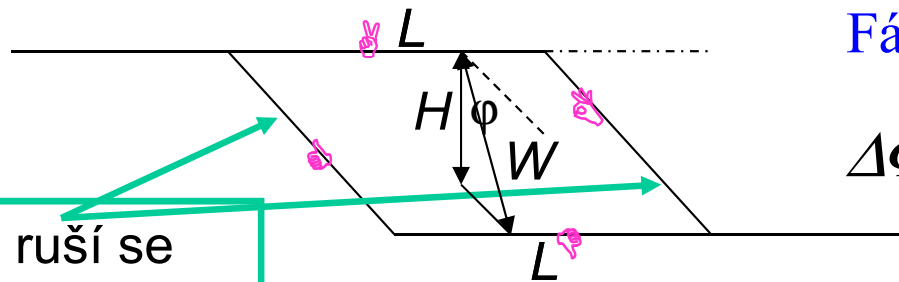
Interferenční gravimetrie

Zpravidla se vliv gravitace v kvantové mechanice zanedbává, jsou to malé síly.

Kolik tak činí gravitační potenciál neutronu v poli Zemské tíže?

$$V(x, y, z) = -mg(z - z_0) \approx -1.7 \times 10^{-27} \times 10 \times 0.1 / 1.6 \times 10^{-19} \approx 10^{-8} \text{ eV}$$

S tímto výsledkem můžeme trajektorie vzít jako bez účinku gravitačního pole



ruší se
navzájem

Fázový rozdíl $\Delta\Phi = \Delta S / \hbar$

$$\Delta\Phi = k_0 \left\{ \int_A + \int_B - \int_C - \int_D \right\} ds \cdot n(\mathbf{r}(s))$$

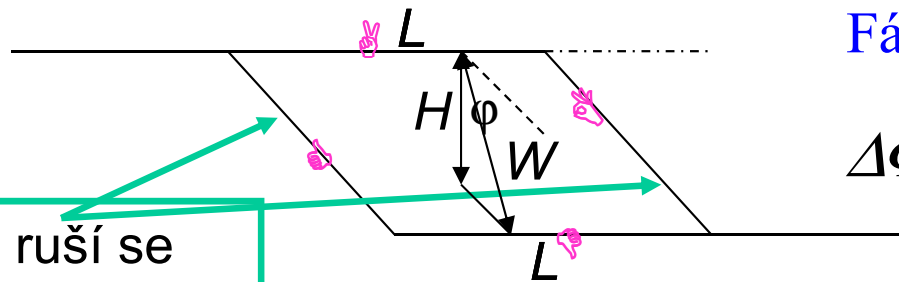
Interferenční gravimetrie

Zpravidla se vliv gravitace v kvantové mechanice zanedbává, jsou to malé síly.

Kolik tak činí gravitační potenciál neutronu v poli Zemské tíže?

$$V(x, y, z) = -mg(z - z_0) \approx -1.7 \times 10^{-27} \times 10 \times 0.1 / 1.6 \times 10^{-19} \approx 10^{-8} \text{ eV}$$

S tímto výsledkem můžeme trajektorie vzít jako bez účinku gravitačního pole



Fázový rozdíl $\Delta\Phi = \Delta S / \hbar$

$$\Delta\Phi = k_0 \left\{ \int_A + \int_B - \int_C - \int_D \right\} ds \cdot n(\mathbf{r}(s))$$

ruší se
navzájem

$$n(\mathbf{r}) = \sqrt{1 - \frac{V(\mathbf{r})}{E}} \approx 1 - \frac{V(\mathbf{r})}{2E}$$

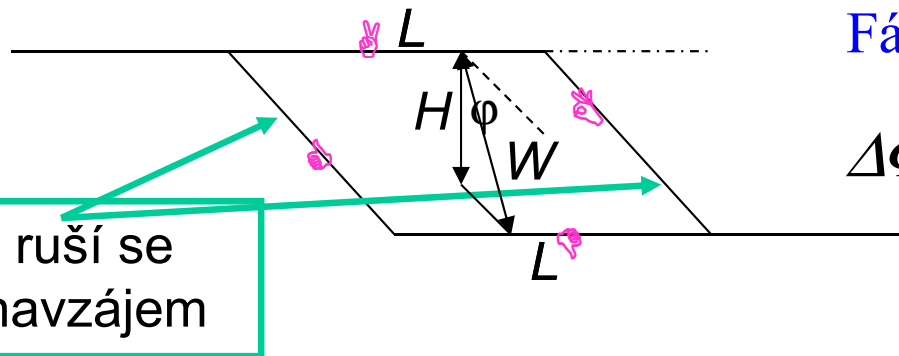
Interferenční gravimetrie

Zpravidla se vliv gravitace v kvantové mechanice zanedbává, jsou to malé síly.

Kolik tak činí gravitační potenciál neutronu v poli Zemské tíže?

$$V(x, y, z) = -mg(z - z_0) \approx -1.7 \times 10^{-27} \times 10 \times 0.1 / 1.6 \times 10^{-19} \approx 10^{-8} \text{ eV}$$

S tímto výsledkem můžeme trajektorie vzít jako bez účinku gravitačního pole



Fázový rozdíl $\Delta\Phi = \Delta S / \hbar$

$$\begin{aligned} \Delta\Phi &= k_0 \left\{ \int_A + \int_B - \int_C - \int_D \right\} ds \cdot n(\mathbf{r}(s)) \\ &= k_0 \left\{ \int_A - \int_D \right\} ds \cdot [-V(\mathbf{r}(s))] / 2E \end{aligned}$$

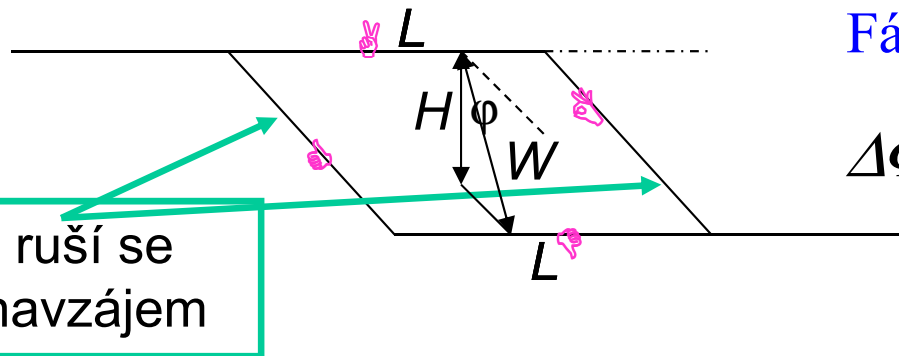
Interferenční gravimetrie

Zpravidla se vliv gravitace v kvantové mechanice zanedbává, jsou to malé síly.

Kolik tak činí gravitační potenciál neutronu v poli Zemské tíže?

$$V(x, y, z) = -mg(z - z_0) \approx -1.7 \times 10^{-27} \times 10 \times 0.1 / 1.6 \times 10^{-19} \approx 10^{-8} \text{ eV}$$

S tímto výsledkem můžeme trajektorie vzít jako bez účinku gravitačního pole



Fázový rozdíl $\Delta\Phi = \Delta S / \hbar$

$$\begin{aligned} \Delta\Phi &= k_0 \left\{ \int_A + \int_B - \int_C - \int_D \right\} ds \cdot n(\mathbf{r}(s)) \\ &= k_0 \left\{ \int_A - \int_D \right\} ds \cdot [-V(\mathbf{r}(s))] / 2E \end{aligned}$$

$$\Delta\Phi = k_0 \times L \times mgH / 2E$$

$$= LH \times g \times 2\pi \times (m/h)^2 \times \lambda_0$$

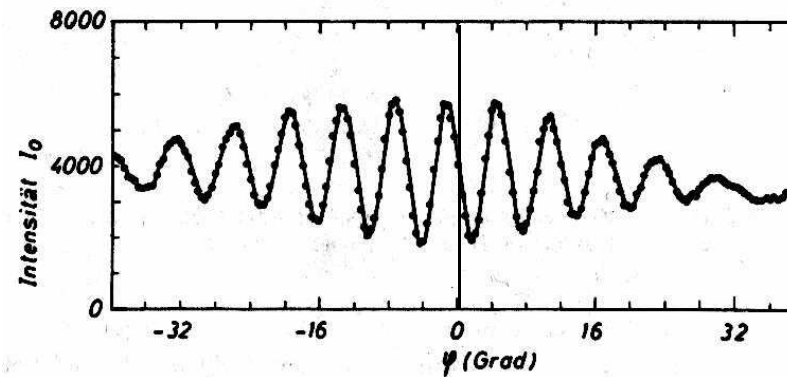
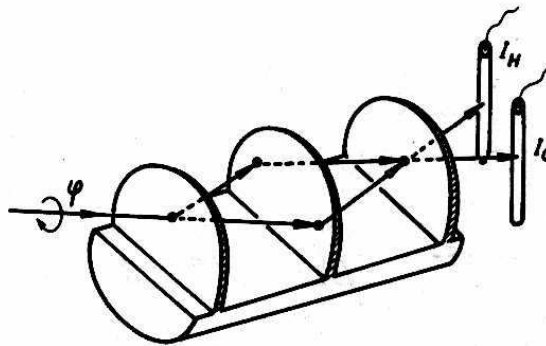
plocha
obemknutá
drahami

$$LH = LW \cdot \sin \varphi$$

měníme
natáčením

Interferenční gravimetrie: jeden z prvních výsledků

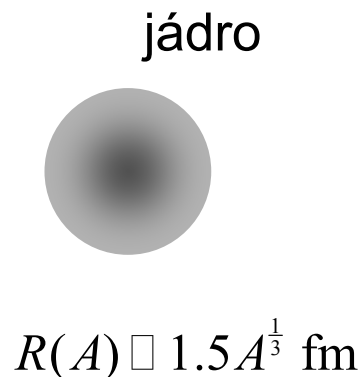
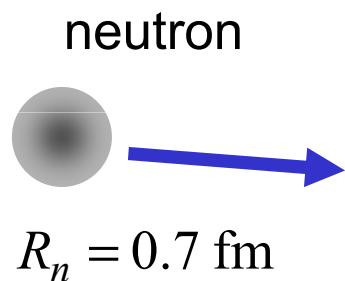
osa natáčení je
vodorovná



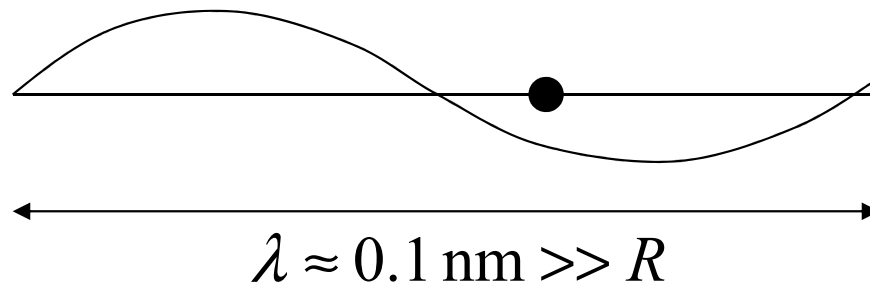
COW experiment ... Collela, Overhauser, Werner

Šíření neutronů v nemagnetických látkách

Interakce neutronů s hmotou



bodově kontaktní interakce



$$R < R(100) \approx 7 \text{ fm}$$

experiment potvrzuje čistě isotropní rozptyl (stejný ve všech směrech). To je signatura krátkodosahového rozptylového potenciálu

FERMIHO
PSEUDOPOTENCIÁL

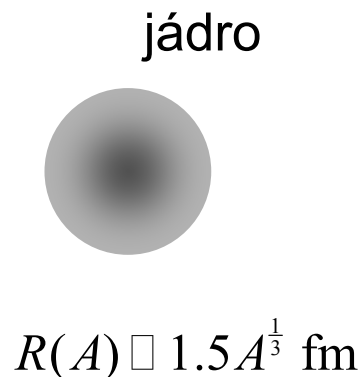
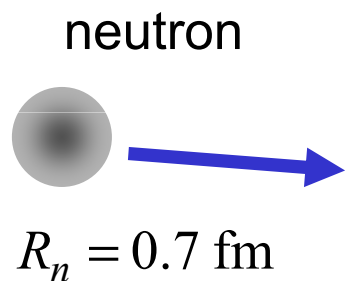
$$V(\mathbf{r}) = \frac{2\pi\hbar^2}{m} \cdot b \cdot \delta(\mathbf{r})$$

rozptylová délka
z experimentu

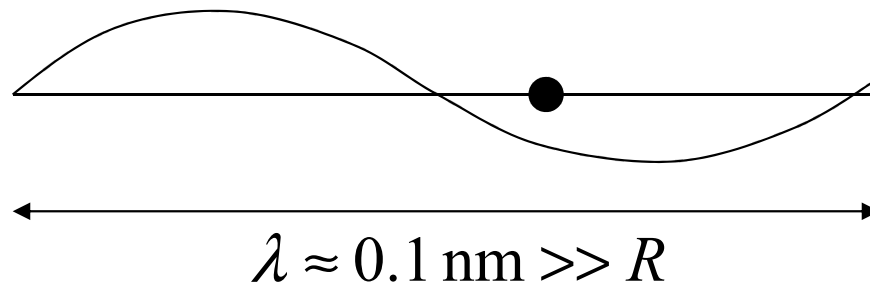
Konstanty jsou nastaveny tak, že již v Bornově aproximaci

$$\sigma_{\text{TOT}} = 4\pi b^2 \text{ celkový účinný průřez}$$

Interakce neutronů s hmotou



bodově kontaktní interakce



experiment potvrzuje čistě isotropní rozptyl (stejný ve všech směrech). To je signatura krátkodosahového rozptylového potenciálu

FERMIHO
PSEUDOPOTENCIÁL

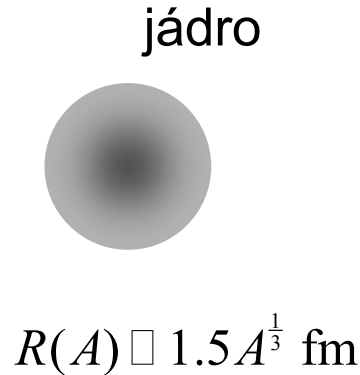
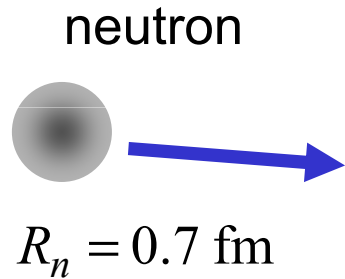
$$V(\mathbf{r}) = \frac{2\pi\hbar^2}{m} \cdot b \cdot \delta(\mathbf{r})$$

rozptylová délka
z experimentu

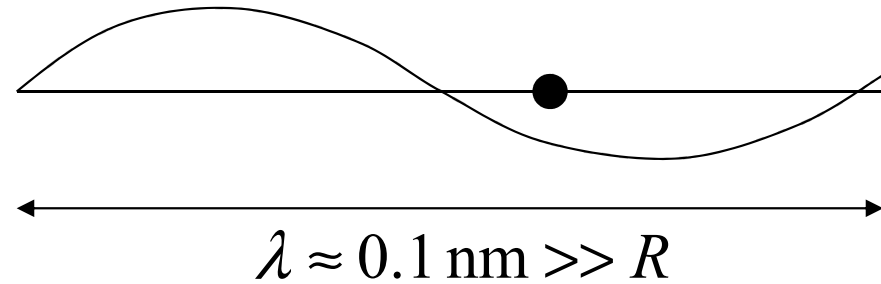
Konstanty jsou nastaveny tak, že již v Bornově aproximaci

$$\sigma_{\text{TOT}} = 4\pi b^2 \text{ celkový účinný průřez}$$

Interakce neutronů s hmotou



bodově kontaktní interakce



experiment potvrzuje čistě isotropní rozptyl (stejný ve všech směrech). To je signatura krátkodosahového rozptylového potenciálu

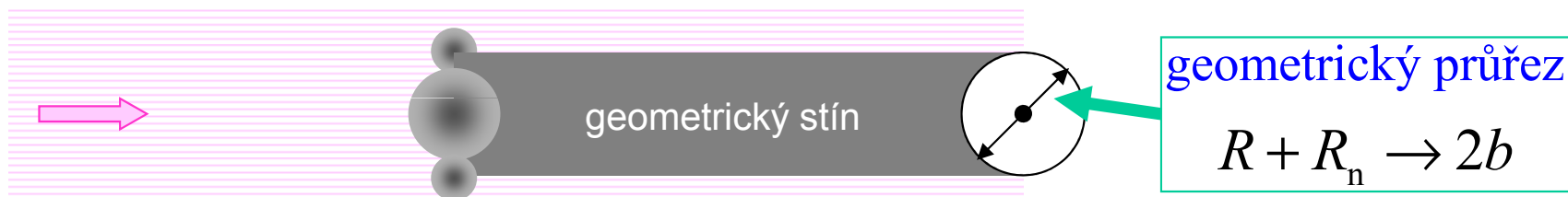
FERMIHO
PSEUDOPOTENCIÁL

$$V(\mathbf{r}) = \frac{2\pi\hbar^2}{m} \cdot b \cdot \delta(\mathbf{r})$$

rozptylová délka
z experimentu

Konstanty jsou nastaveny tak, že již v Bornově aproximaci

$$\sigma_{\text{TOT}} = 4\pi b^2 \text{ celkový účinný průřez}$$



Ukázka parametrů: tabulka účinných průřezů

barn [stodola] = 10^{-28} m²

Element	Symbol	σ_{γ} [barn]	σ_t [barn]	σ_{α} [barn]	σ_a [barn]	σ_s [barn]	σ_f [barn]	σ_t [barn]	Density [gm/cm ³]
		capture	hydrogen	alpha	absorption	scattering	fission	total	
Actinium	Ac				515				
Aluminum	13Al27	0.23			0.23	1.49		1.72	2.699
Bismuth	Bi				0.033				9.8
Boron	5B				759	3.6			2.3
	B10	0.5	<0.2	3837		2.23			
	B11	5.5			0.0055	3.9			
Cadmium	Cd				2450	5.6			8.65
Oxygen	8O	0.000,27			0.000,27	3.76			1.4x10-8
	8O16	0.000,178			0.000,178				
	8O17			0.235	0.235				
Silicon	14Si	0.16			0.16	2.2		2.4	2.33
	14Si28	0.17							
	14Si29	0.28							
	14Si30	0.107							
	14Si31	0.48							

běžné hodnoty
pro
elastický rozptyl

Ukázka parametrů: tabulka účinných průřezů

barn [stodola] = 10^{-28} m²

Element	Symbol	σ_{γ} [barn] capture	σ_t [barn] hydrogen	σ_{α} [barn] alpha	σ_a [barn] absorption	σ_s [barn] scattering	σ_f [barn] fission	σ_t [barn] total	Density [gm/cm ³]
Actinium	Ac				515				
Aluminum	13Al27	0.23			0.23	1.49		1.72	2.699
Bismuth	Bi				0.033				9.8
Boron	5B				759	3.6			2.3
	B10	0.5	<0.2	3837		2.23			
	B11	5.5			0.0055	3.9			
Cadmium	Cd				2450	5.6			8.65
Oxygen	8O	0.000,27			0.000,27	3.76			1.4x10-8
	8O16	0.000,178			0.000,178				
	8O17			0.235	0.235				
Silicon	14Si	0.16			0.16	2.2		2.4	2.33
	14Si28	0.17							
	14Si29	0.28							
	14Si30	0.107							
	14Si31	0.48							

běžné hodnoty
pro
elastický rozptyl

Ukázka parametrů: tabulka účinných průřezů

barn [stodola] = 10^{-28} m²

Element	Symbol	σ_{γ} [barn] capture	σ_t [barn] hydrogen	σ_{α} [barn] alpha	σ_a [barn] absorption	σ_s [barn] scattering	σ_f [barn] fission	σ_t [barn] total	Density [gm/cm ³]
Actinium	Ac				515				
Aluminum	13Al27	0.23			0.23	1.49		1.72	2.699
Bismuth	Bi				0.033				9.8
Boron	5B				759	3.6			2.3
	B10	0.5	<0.2	3837		2.23			
	B11	5.5			0.0055	3.9			
Cadmium	Cd				2450	5.6			8.65
Oxygen	8O	0.000,27			0.000,27	3.76			1.4x10-8
Silicon	14Si30	0.16				2.2		2.4	2.33
	14Si31	0.17							
		0.28							
		0.107							
		0.48							

bor absorbuje neutrony a emituje α částici; slouží k detekci neutronů

kadmium absorbuje neutrony a slouží k řízení reaktoru

běžné hodnoty pro elastický rozptyl

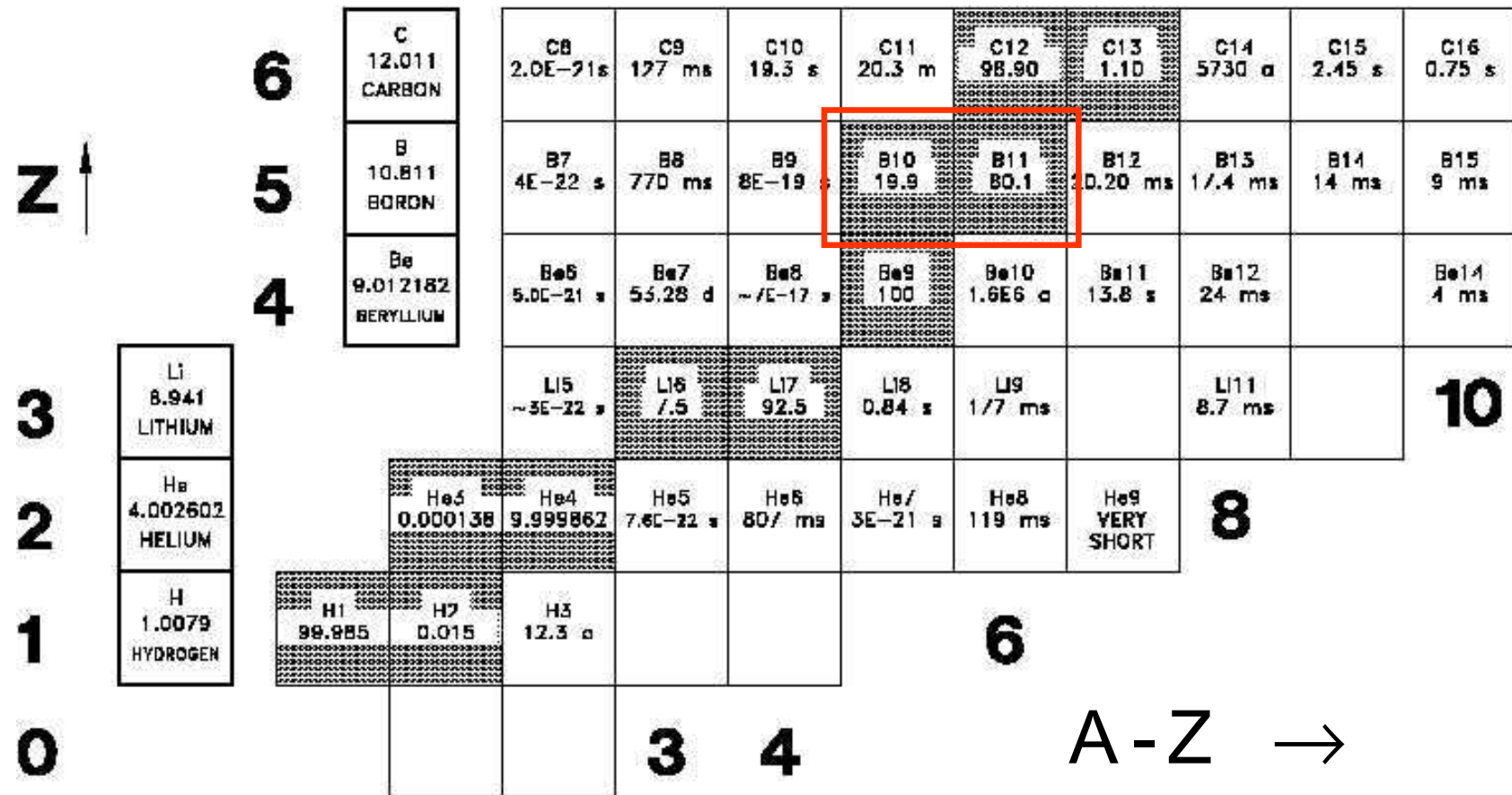
Periodický systém prvků a jejich izotopů

Z ↑

	6	C 12.011 CARBON	C8 2.0E-21 s	C9 177 ms	C10 19.3 s	C11 20.3 m	C12 98.90	C13 1.10	C14 5730 a	C15 2.45 s	C16 0.75 s	
	5	B 10.811 BORDN	B7 4E-22 s	B8 770 ms	B9 8E-19 s	B10 19.9	B11 80.1	B12 20.20 ms	B13 17.4 ms	B14 14 ms	B15 9 ms	
	4	Be 9.012182 BERYLLIUM	Be5 5.0E-21 s	Be7 55.28 d	Be8 ~7E-17 s	Be9 100	Be10 1.6E6 a	Be11 13.8 s	Be12 24 ms		Be14 4 ms	
3		Li 6.941 LITHIUM	Li5 ~3E-22 s	Li6 7.5	Li7 92.5	Li8 0.84 s	Li9 1/7 ms		Li11 8.7 ms			10
2		He 4.002602 HELIUM	He5 0.000138	He4 9.999862	He5 7.6E-22 s	He6 807 ms	He7 3E-21 s	He8 119 ms	He9 VERY SHORT			8
1		H 1.0079 HYDROGEN	H1 99.985	H2 0.015	H3 12.3 a							6
0												

A-Z →

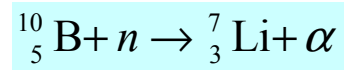
Absorpční průřez přirozeného boru – odhad



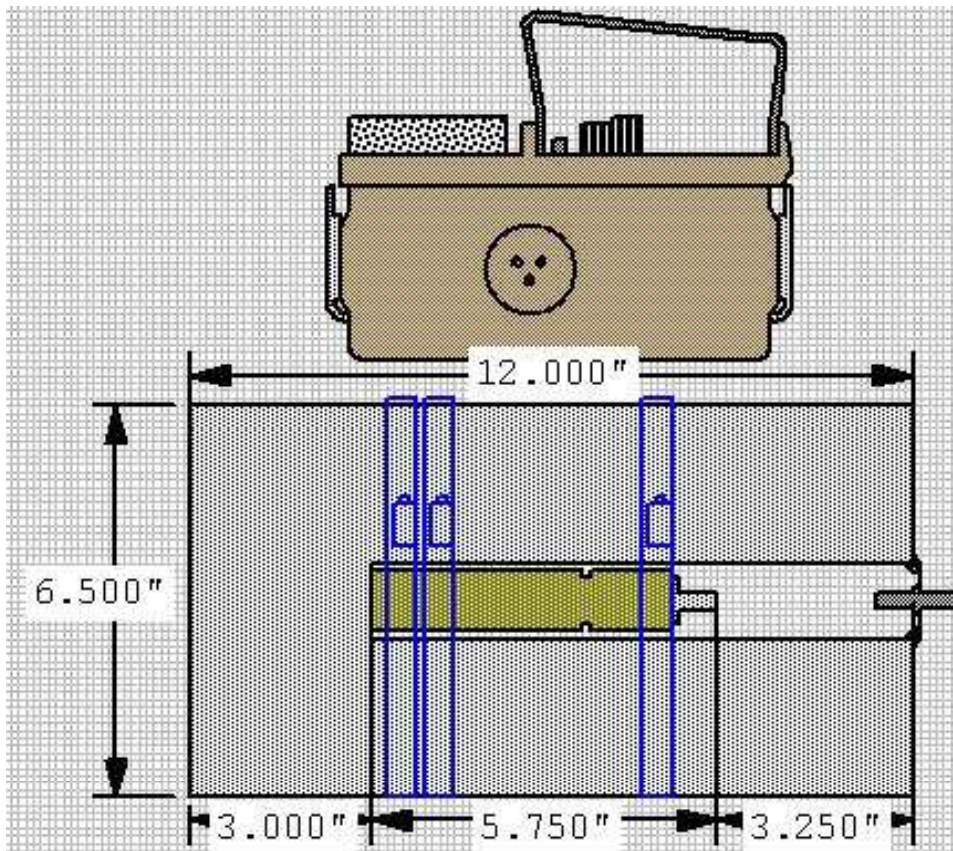
$$\bar{\sigma}_a \square 0 \times 0.801 + 3837 \times 0.199 = 763$$

BF_3 detektor neutronů

reakce



náboj $2e$
normální detekce



Optický potenciál neutronů v nemagnetických látkách

Optický potenciál neutronů v PL

celková potenciální energie ve vzorku → efektivní konstantní pot. energie

$$V(\mathbf{r}) = \frac{2\pi\hbar^2}{m} \cdot \sum b_i \cdot \delta(\mathbf{r} - \mathbf{r}_i) \rightarrow V_{\text{OPT}} = \frac{2\pi\hbar^2}{m} \cdot \bar{b} \cdot N$$

hustota
atomů

polohy
jednotlivých
atomů

Dlouhovlnné neutrony vnímají prostorovou střední hodnotu
potenciální energie

OPTICKÝ POTENCIÁL

Optický potenciál neutronů v \mathcal{PL}

celková potenciální energie ve vzorku \rightarrow efektivní konstantní pot. energie

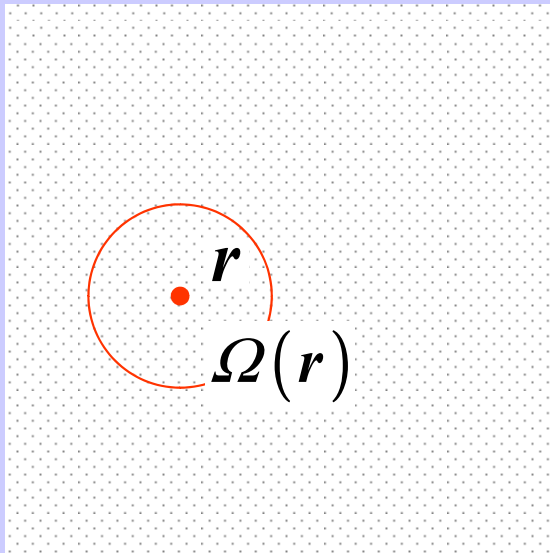
$$V(\mathbf{r}) = \frac{2\pi\hbar^2}{m} \cdot \sum b_i \cdot \delta(\mathbf{r} - \mathbf{r}_i) \rightarrow V_{\text{OPT}} = \frac{2\pi\hbar^2}{m} \cdot \bar{b} \cdot N$$

hustota
atomů

polohy
jednotlivých
atomů

Dlouhovlnné neutrony vnímají prostorovou střední hodnotu
potenciální energie

OPTICKÝ POTENCIÁL

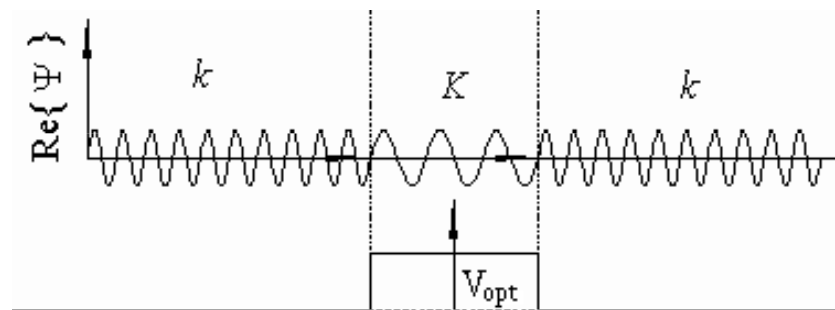


$$V_{\text{OPT}}(\mathbf{r}) = \frac{1}{\Omega} \int_{\Omega(\mathbf{r})} d^3 \bar{\mathbf{r}} V(\bar{\mathbf{r}})$$

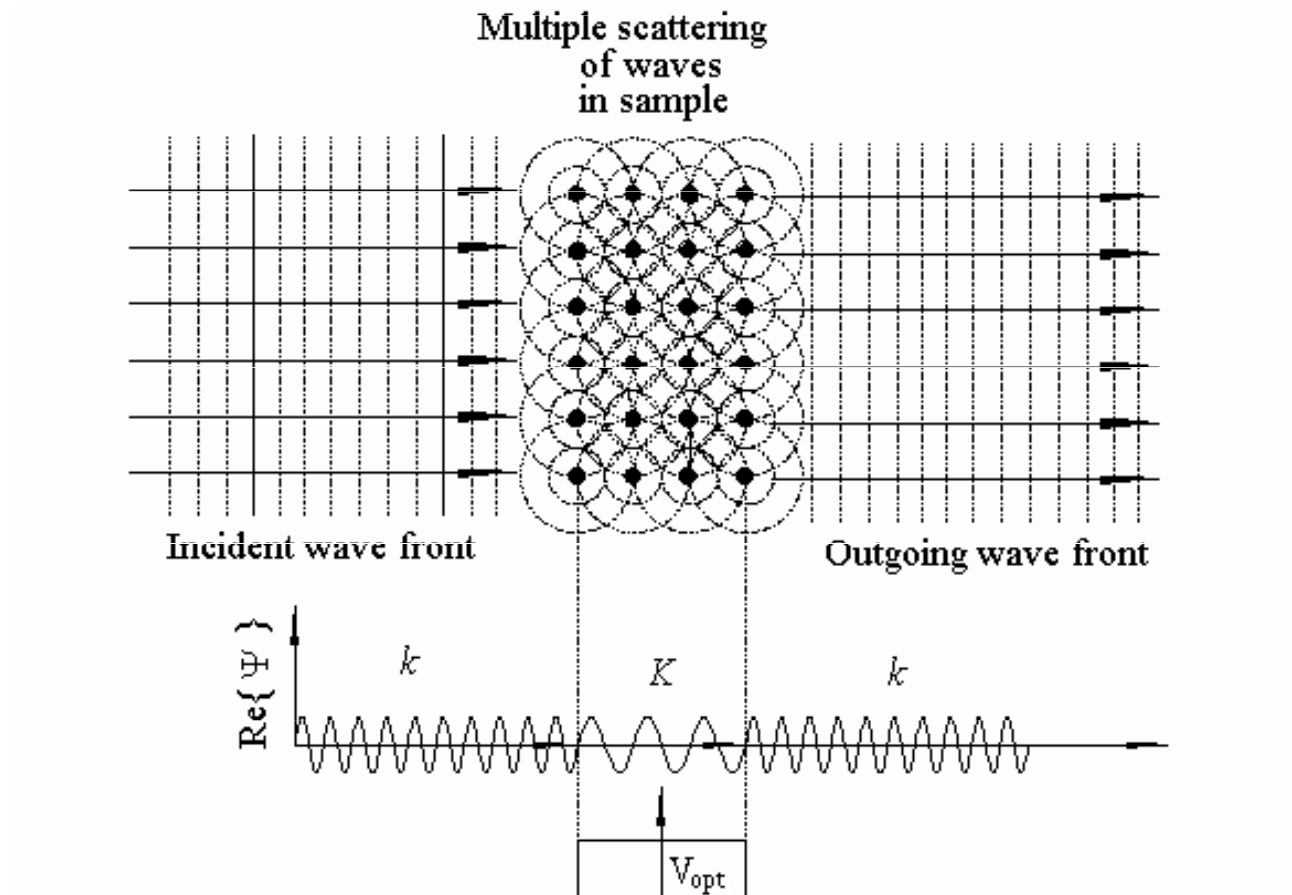
$$= \frac{1}{\Omega} \int_{\Omega(\mathbf{r})} d^3 \bar{\mathbf{r}} \sum_{\ell} \frac{2\pi\hbar^2}{m} b_{\ell} \delta(\bar{\mathbf{r}} - \mathbf{r}_{\ell})$$

$$= \frac{2\pi\hbar^2}{m} \cdot \frac{1}{\Omega} \sum_{\mathbf{r}_{\ell} \in \Omega(\mathbf{r})} b_{\ell} = \frac{2\pi\hbar^2}{m} \frac{\sum 1_{\ell}}{\Omega} \frac{\sum b_{\ell}}{\sum 1_{\ell}} = \frac{2\pi\hbar^2}{m} N \cdot \bar{b}(\mathbf{r})$$

Ke vzniku označení "optický potenciál"



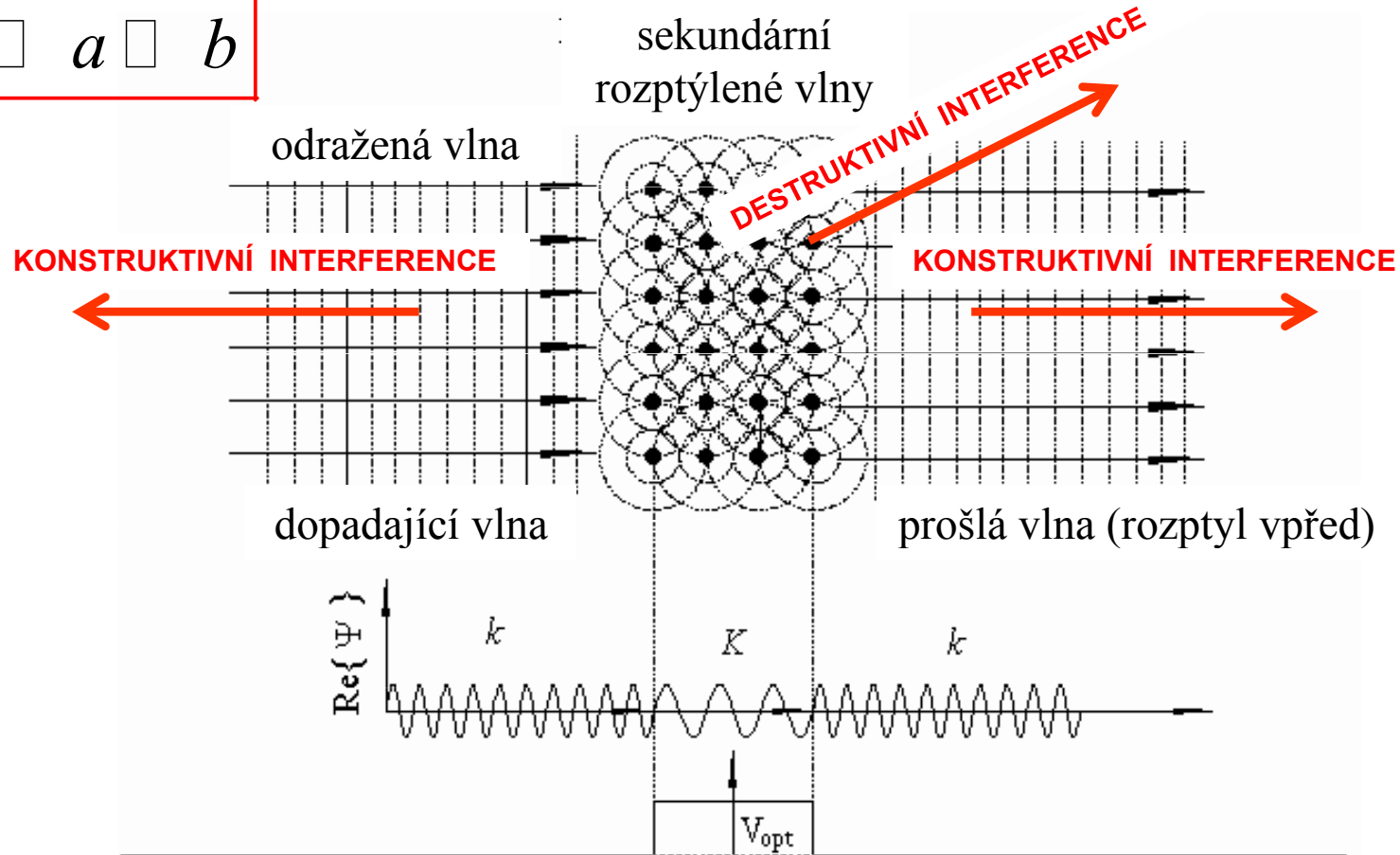
Ke vzniku označení "optický potenciál"



Ke vzniku označení "optický potenciál"

PODMÍNKA

$$\lambda \ll a \ll b$$



Optický potenciál neutronů v PL

celková potenciální energie ve vzorku \rightarrow efektivní konstantní pot. energie

$$V(\mathbf{r}) = \frac{2\pi\hbar^2}{m} \cdot \sum b_i \cdot \delta(\mathbf{r} - \mathbf{r}_i) \rightarrow V_{\text{OPT}} = \frac{2\pi\hbar^2}{m} \cdot \bar{b} \cdot N$$

Dlouhovlnné neutrony vnímají prostorovou střední hodnotu potenciální energie

index lomu

$$n(\mathbf{r}) \approx 1 - V_{\text{OPT}}(\mathbf{r}) / 2E$$

$$E = \frac{\hbar^2}{2m} k_0^2 = \frac{h^2}{2m} \cdot \frac{1}{\lambda_0^2}$$

$$n(\mathbf{r}) \approx 1 - \lambda_0^2 \times \bar{b} \cdot N / 2\pi$$

Optický potenciál neutronů v \mathcal{PL}

celková potenciální energie ve vzorku \rightarrow efektivní konstantní pot. energie

$$V(\mathbf{r}) = \frac{2\pi\hbar^2}{m} \cdot \sum b_i \cdot \delta(\mathbf{r} - \mathbf{r}_i) \rightarrow V_{\text{OPT}} = \frac{2\pi\hbar^2}{m} \cdot \bar{b} \cdot N$$

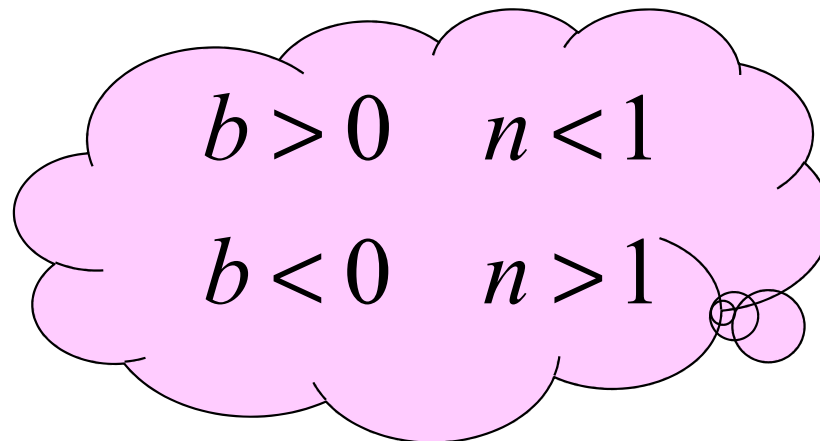
Dlouhovlnné neutrony vnímají prostorovou střední hodnotu potenciální energie

index lomu

$$n(\mathbf{r}) \approx 1 - V_{\text{OPT}}(\mathbf{r}) / 2E$$

$$E = \frac{\hbar^2}{2m} k_0^2 = \frac{h^2}{2m} \cdot \frac{1}{\lambda_0^2}$$

$$n(\mathbf{r}) \approx 1 - \lambda_0^2 \times \bar{b} \cdot N / 2\pi$$



Interferometrické měření rozptylových délek

Optický potenciál neutronů v PL: interferometrické měření

celková potenciální energie ve vzorku \rightarrow efektivní konstantní pot. energie

$$V(\mathbf{r}) = \frac{2\pi\hbar^2}{m} \cdot \sum b_i \cdot \delta(\mathbf{r} - \mathbf{r}_i) \rightarrow V_{\text{OPT}} = \frac{2\pi\hbar^2}{m} \cdot \bar{b} \cdot N$$

Dlouhovlnné neutrony vnímají prostorovou střední hodnotu potenciální energie

index lomu

$$n(\mathbf{r}) \approx 1 - V_{\text{OPT}}(\mathbf{r}) / 2E$$

$$E = \frac{\hbar^2}{2m} k_0^2 = \frac{h^2}{2m} \cdot \frac{1}{\lambda_0^2}$$

$$n(\mathbf{r}) \approx 1 - \lambda_0^2 \times \bar{b} \cdot N / 2\pi$$

Optický potenciál neutronů v PL: interferometrické měření

celková potenciální energie ve vzorku \rightarrow efektivní konstantní pot. energie

$$V(\mathbf{r}) = \frac{2\pi\hbar^2}{m} \cdot \sum b_i \cdot \delta(\mathbf{r} - \mathbf{r}_i) \rightarrow V_{\text{OPT}} = \frac{2\pi\hbar^2}{m} \cdot \bar{b} \cdot N$$

Dlouhovlnné neutrony vnímají prostorovou střední hodnotu potenciální energie

index lomu

$$n(\mathbf{r}) \approx 1 - V_{\text{OPT}}(\mathbf{r}) / 2E$$

$$E = \frac{\hbar^2}{2m} k_0^2 = \frac{h^2}{2m} \cdot \frac{1}{\lambda_0^2}$$

$$n(\mathbf{r}) \approx 1 - \lambda_0^2 \times \bar{b} \cdot N / 2\pi$$

Interferenčním měřením indexu lomu najdeme rozptylovou délku b !!!

Optický potenciál neutronů v PL: interferometrické měření

celková potenciální energie ve vzorku \rightarrow efektivní konstantní pot. energie

$$V(\mathbf{r}) = \frac{2\pi\hbar^2}{m} \cdot \sum b_i \cdot \delta(\mathbf{r} - \mathbf{r}_i) \rightarrow V_{\text{OPT}} = \frac{2\pi\hbar^2}{m} \cdot \bar{b} \cdot N$$

Dlouhovlnné neutrony vnímají prostorovou střední hodnotu potenciální energie

index lomu

$$n(\mathbf{r}) \approx 1 - V_{\text{OPT}}(\mathbf{r}) / 2E$$

$$E = \frac{\hbar^2}{2m} k_0^2 = \frac{h^2}{2m} \cdot \frac{1}{\lambda_0^2}$$

makroskopickým

Interferenčním

$$n(\mathbf{r}) \approx 1 - \lambda_0^2 \times \bar{b} \cdot N / 2\pi$$

měřením indexu lomu najdeme rozptylovou

mikroskopickou

délku b !!!

Optický potenciál neutronů v PL: interferometrické měření

celková potenciální energie ve vzorku \rightarrow efektivní konstantní pot. energie

$$V(\mathbf{r}) = \frac{2\pi\hbar^2}{m} \cdot \sum b_i \cdot \delta(\mathbf{r} - \mathbf{r}_i) \rightarrow V_{\text{OPT}} = \frac{2\pi\hbar^2}{m} \cdot \bar{b} \cdot N$$

Dlouhovlnné neutrony vnímají prostorovou střední hodnotu potenciální energie

index lomu

$$n(\mathbf{r}) \approx 1 - V_{\text{OPT}}(\mathbf{r}) / 2E$$

$$E = \frac{\hbar^2}{2m} k_0^2 = \frac{h^2}{2m} \cdot \frac{1}{\lambda_0^2}$$

$$n(\mathbf{r}) \approx 1 - \lambda_0^2 \times \bar{b} \cdot N / 2\pi$$

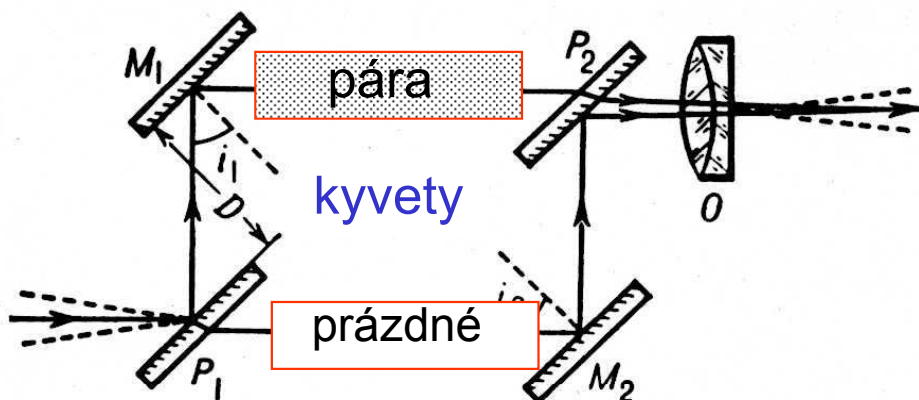
makroskopickým

Interferenčním

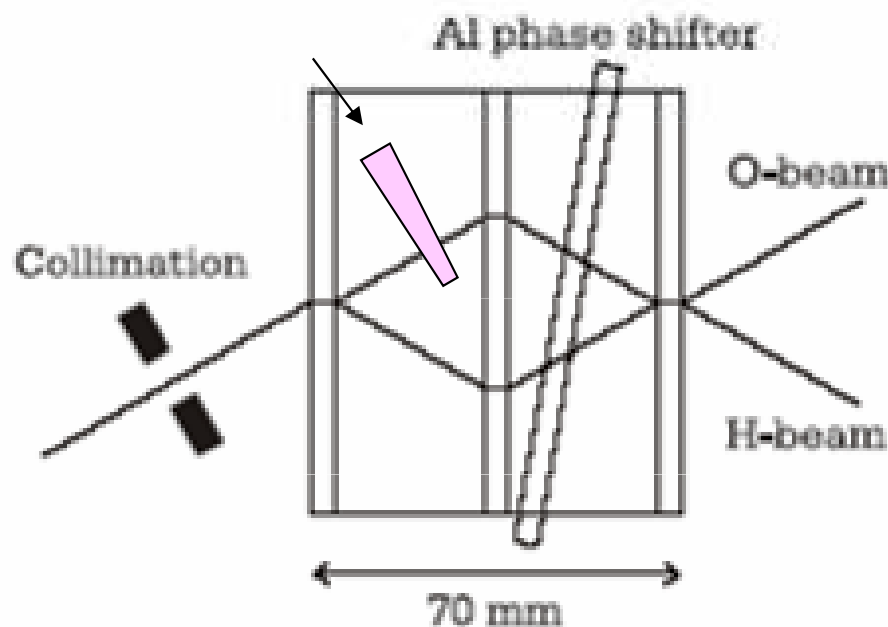
měřením indexu lomu najdeme rozptylovou

mikroskopickou

délku b !!!



Roschdestwenski



Optický potenciál neutronů v PL: interferometrické měření

celková potenciální energie ve vzorku \rightarrow efektivní konstantní pot. energie

$$V(\mathbf{r}) = \frac{2\pi\hbar^2}{m} \cdot \sum b_i \cdot \delta(\mathbf{r} - \mathbf{r}_i) \rightarrow V_{\text{OPT}} = \frac{2\pi\hbar^2}{m} \cdot \bar{b} \cdot N$$

Dlouhovlnné neutrony vnímají prostorovou střední hodnotu potenciální energie

index lomu

$$n(\mathbf{r}) \approx 1 - V_{\text{OPT}}(\mathbf{r}) / 2E$$

$$E = \frac{\hbar^2}{2m} k_0^2 = \frac{h^2}{2m} \cdot \frac{1}{\lambda_0^2}$$

makroskopickým

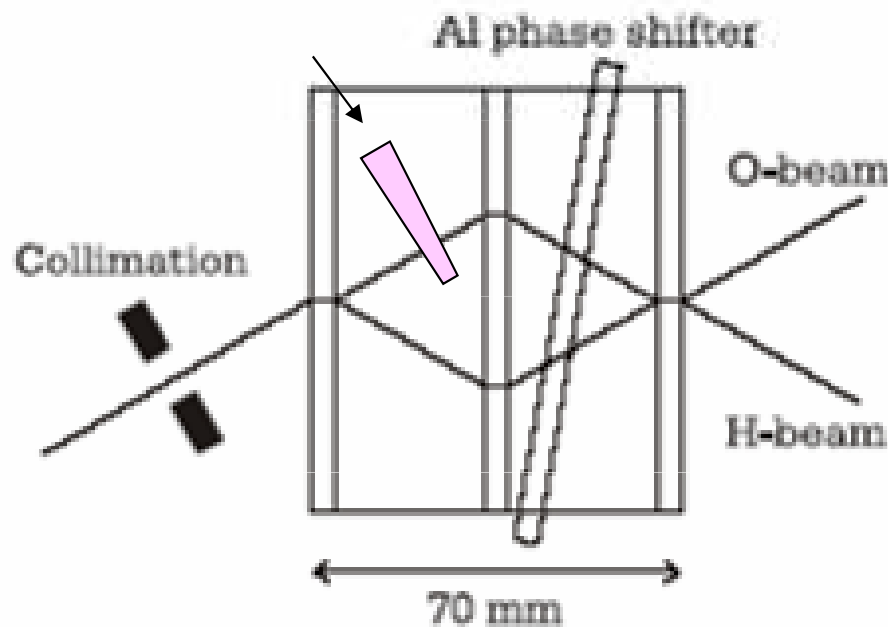
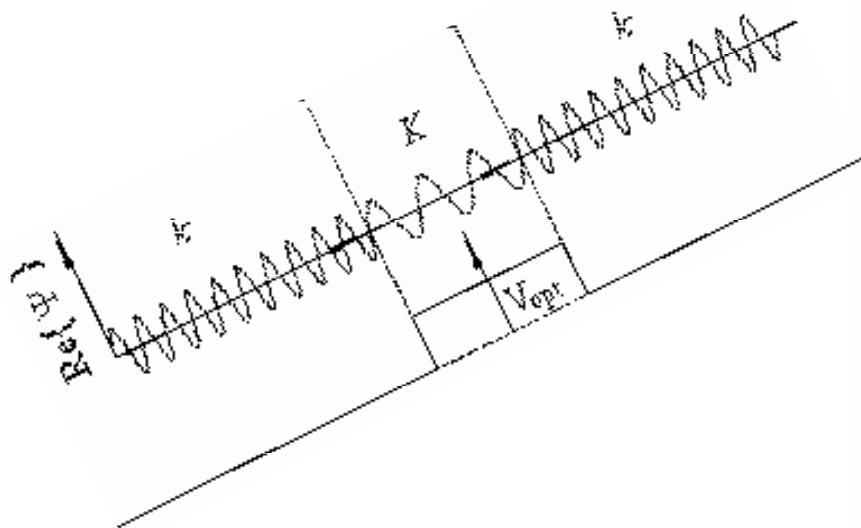
Interferenčním

$$n(\mathbf{r}) \approx 1 - \lambda_0^2 \times \bar{b} \cdot N / 2\pi$$

měřením indexu lomu najdeme rozptylovou

mikroskopickou

délku b !!!



Optický potenciál neutronů v PL: interferometrické měření

celková potenciální energie ve vzorku \rightarrow efektivní konstantní pot. energie

$$V(\mathbf{r}) = \frac{2\pi\hbar^2}{m} \cdot \sum b_i \cdot \delta(\mathbf{r} - \mathbf{r}_i) \rightarrow V_{\text{OPT}} = \frac{2\pi\hbar^2}{m} \cdot \bar{b} \cdot N$$

Dlouhovlnné neutrony vnímají prostorovou střední hodnotu potenciální energie

index lomu

$$n(\mathbf{r}) \approx 1 - V_{\text{OPT}}(\mathbf{r}) / 2E$$

$$E = \frac{\hbar^2}{2m} k_0^2 = \frac{h^2}{2m} \cdot \frac{1}{\lambda_0^2}$$

makroskopickým

Interferenčním

$$n(\mathbf{r}) \approx 1 - \lambda_0^2 \times \bar{b} \cdot N / 2\pi$$

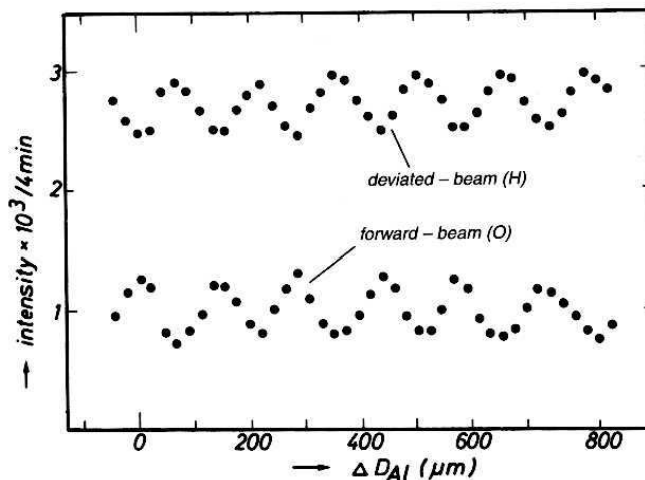
mikroskopickou

délku b !!!

měřením indexu lomu najdeme rozptylovou

PRVNÍ MĚŘENÍ TOHOTO TYPU

Zasouváním
klínu z hliníku
narůstá dráhový
rozdíl



Optický potenciál neutronů v PL: interferometrické měření

celková potenciální energie ve vzorku → efektivní konstantní pot. energie

$$V(\mathbf{r}) = \frac{2\pi\hbar^2}{m} \cdot \sum b_i \cdot \delta(\mathbf{r} - \mathbf{r}_i) \rightarrow V_{\text{OPT}} = \frac{2\pi\hbar^2}{m} \cdot \bar{b} \cdot N$$

Dlouhovlnné neutrony vnímají prostorovou střední hodnotu potenciální energie

index lomu

$$n(\mathbf{r}) \approx 1 - V_{\text{OPT}}(\mathbf{r}) / 2E$$

$$E = \frac{\hbar^2}{2m} k_0^2 = \frac{h^2}{2m} \cdot \frac{1}{\lambda_0^2}$$

makroskopickým

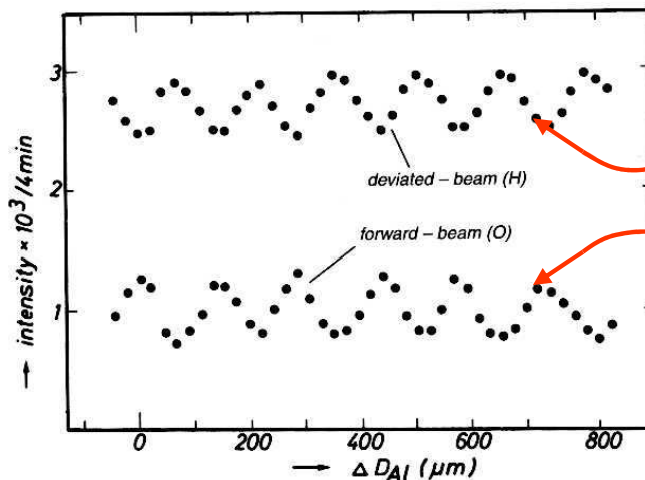
$$n(\mathbf{r}) \approx 1 - \lambda_0^2 \times \bar{b} \cdot N / 2\pi$$

mikroskopickou

Interferenčním měřením indexu lomu najdeme rozptylovou délku b !!!

PRVNÍ MĚŘENÍ TOHOTO TYPU

Zasouváním klínu z hliníku narůstá dráhový rozdíl



$$I_{\text{TOT}} = I_{\text{O}} + I_{\text{H}} = \text{const.}$$

2.2 Neutron optics

7

Material	N (nm^{-3})	\bar{b} (fm)	V_{op} (10^{-7}eV)	$(1 - n)$ $\times 10^{-2}$
Ni	91.3	10.3	2.449	1.49
SiO ₂ (quartz-glass)	22.0	15.75	0.902	0.55
Ti	56.7	-3.438	-0.508	-0.310
V	72.2	-0.3824	-0.072	-0.044
Al	60.3	3.449	0.541	0.330

Table 2.2.: Neutron optical data for selected materials calculated for $\lambda = 10$ nm. Source: Koester et al. (1991).

Ukázka skutečných hodnot

o.k.

2.2 Neutron optics

7

Material	N (nm^{-3})	\bar{b} (fm)	V_{op} (10^{-7}eV)	$(1 - n)$ $\times 10^{-2}$
Ni	91.3	10.3	2.449	1.49
SiO ₂ (quartz-glass)	22.0	15.75	0.902	0.55
Ti	56.7	-3.438	-0.508	-0.310
V	72.2	-0.3824	-0.072	-0.044
Al	60.3	3.449	0.541	0.330

Table 2.2.: Neutron optical data for selected materials calculated for $\lambda = 10$ nm. Source: Koester et al. (1991).

UKÁZKA VÝPOČTU PRO HLINÍK

hustota $\rho = 2699 \text{ kg/m}^3$
 relativní atomová hmotnost $A = 27$

$$N = 1000 N_A \times \frac{\rho}{A} \approx 1000 \times 6.02 \times 10^{23} \times 2699 / 27 = 6.02 \times 10^{28} \text{ m}^{-3} = 60.2 \text{ fm}^{-3} \quad \text{o.k.}$$

$$V_{\text{OPT}} = \frac{2 \times 3.14 \dots \times (1.055 \times 10^{-34})^2}{1.66 \times 10^{-27} \times 1.00866} \cdot 3.449 \times 10^{-15} \times 6.02 \times 10^{28} / 1.602 \times 10^{-19} = 5.41 \times 10^{-8} \text{ eV} \quad \text{o.k.}$$

$$1 - n = (10 \times 10^{-9})^2 \times 3.449 \times 10^{-15} \times 6.02 \times 10^{28} / 2 / 3.14 \dots = 3.30 \times 10^{-3} \quad \text{o.k.}$$

**Vyloučení justačních
(geometrických) chyb**

- přesouvání vzorku mezi oběma cestami
- natáčení po krocích ve sklonu a v azimutu

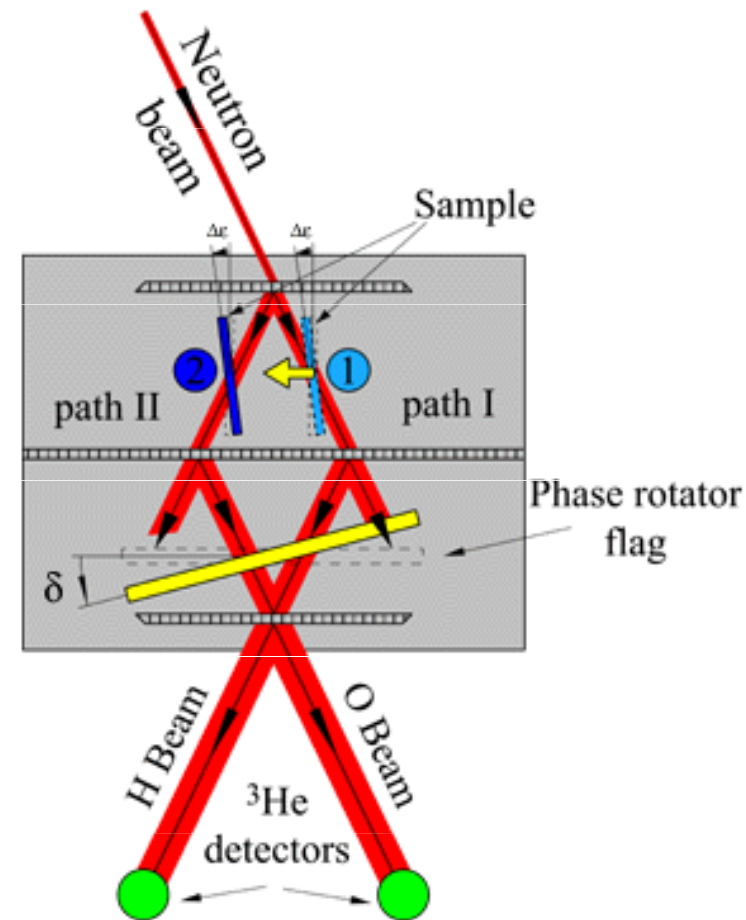
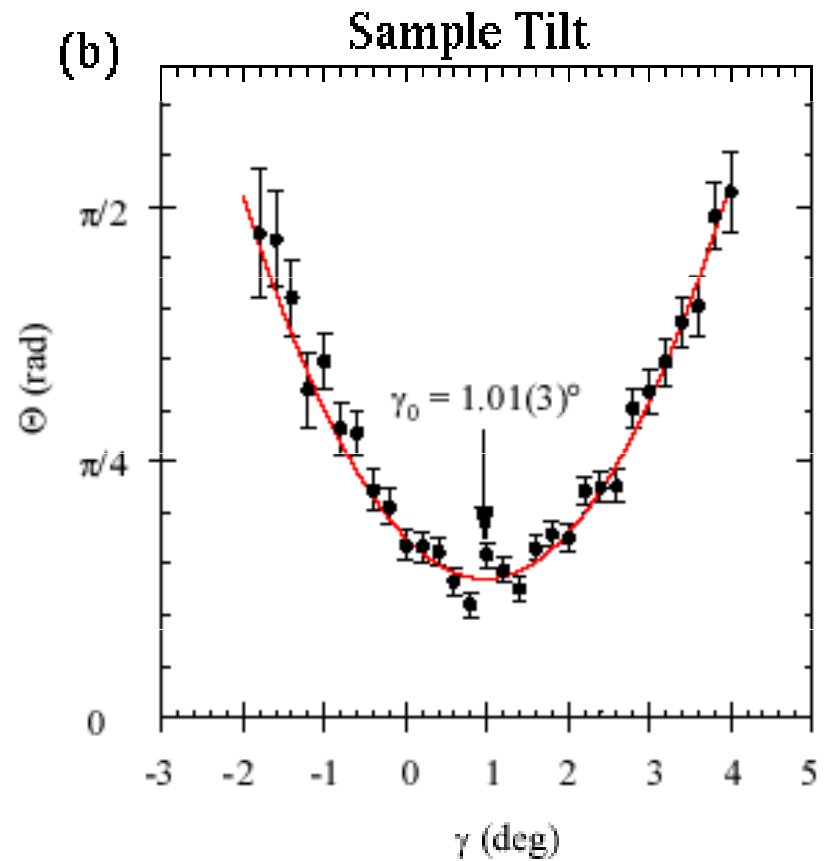
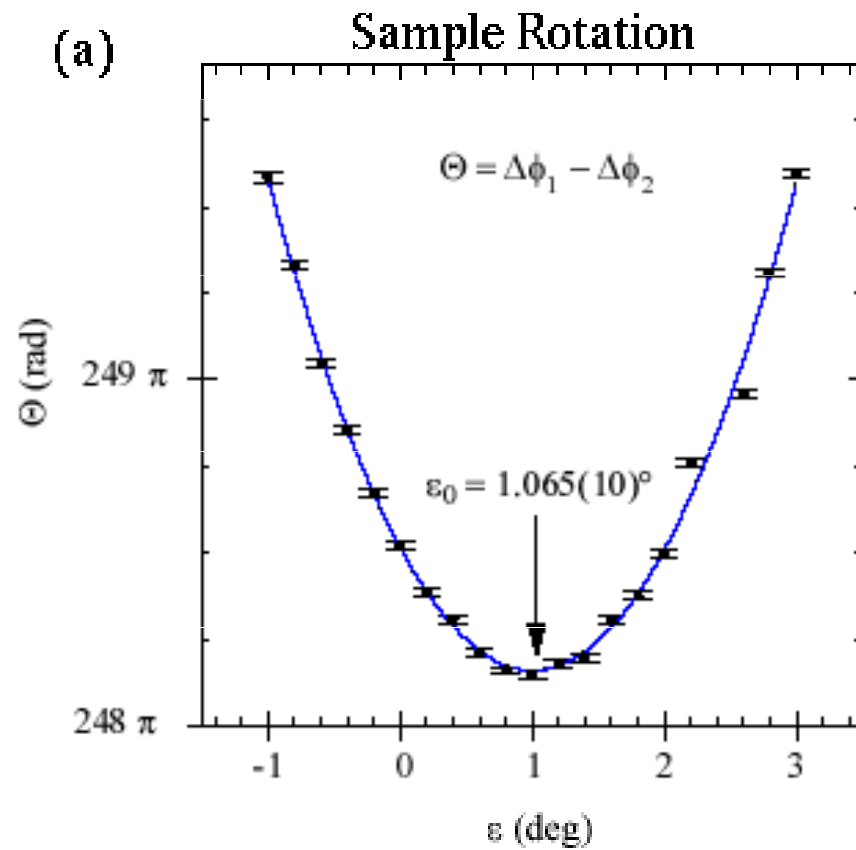


Fig. 1. Topview of neutron interferometer experimental setup to measure scattering

Vyloučení geometrických chyb



Moderní přesné měření (NIST)

Moderní přesné měření

v NIST

údaje pro křemík

$$b_{\text{new}} = 4.1507(2) \text{ fm}$$

$$b_{\text{accepted}} = 4.1490(10) \text{ fm}$$

Uncertainty level is at **0.005%**,
an improvement of a factor of 5
over previous best measurement
[C.G. Shull and J.A. Oberteuffer,
Phys. Rev. Lett. **29**, 867 (1972);
also C.G. Shull,
Phys. Rev. Lett. **21**, 1585 (1968)].

Sources of uncertainty:

1. Variations in the thickness D
amounting to **0.005 %**.
2. Statistical **0.001 %**.
3. Alignment **0.0002 %**.
4. Density **0.0001 %**.

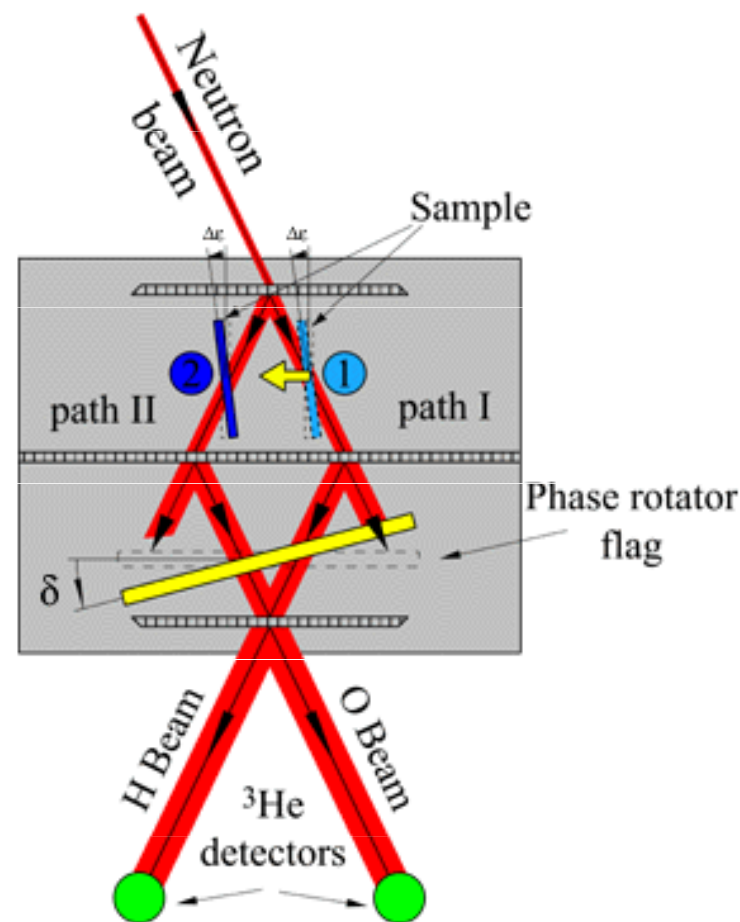


Fig. 1. Topview of neutron interferometer experimental setup to measure scattering

The end